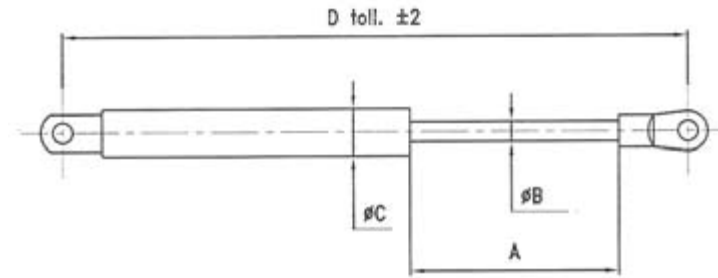




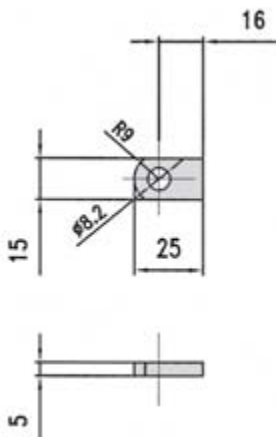
MOLLE A GAS
GAS SPRINGS
GASFEDERN

Art.		A	∅ B	∅ C	D	Kg	
0825 00379	D	85	8	19	255	10	A3-B3
0825 20461	D	85	8	19	255	20	A3-B3
0825 20987	D	85	8	19	255	30	A3-B3
0825 20464	D	95	8	19	290	35	A3-B3
0825 20989	D	130	8	19	355	25	A3-B3
0825 20469	D	155	8	19	405	50	A3-B3
0825 20472	D	185	8	19	485	30	A3-B3
0825 20473	D	185	10	22	485	50	A3-B3
0825 20475	D	220	8	19	550	30	A3-B3
0825 20477	D	220	8	19	550	40	A3-B3
0825 20479	D	239	10	22	590	40	A3-B3
0825 20994	D	245	8	19	585	30	A3-B3
0825 20480	D	250	8	19	600	20	A3-B3
0825 20481	D	250	8	19	600	30	A3-B3
0825 20482	D	255	10	22	600	60	A15-B15
0825 20483	D	262	10	22	600	80	A15-B15
0825 10291	D	255	10	22	600	110	A15-B15
0825 21381	D	300	14	28	700	200	A15-B15
0825 20484	D	310	10	22	700	35	A15-B15
0825 20486	D	310	10	22	700	55	A15-B15
0825 20487	D	310	10	22	700	70	A15-B15
0825 20489	D	360	10	22	800	80	A15-B15
0825 20144	D	360	10	22	800	90	A15-B15
0825 10300	D	350	14	28	800	100	A15-B15
0825 10301	D	350	14	28	800	130	A15-B15
0825 21457	D	350	14	28	800	200	A15-B15



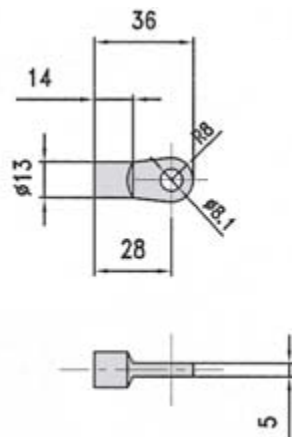
A= corsa effettiva dello stelo - O + 2
A= actual stroke of the shaft - O + 2
A= effektiver Hub des Schaftes - O + 2

TERMINALI - ENDPieces - ENDSTÜCKE



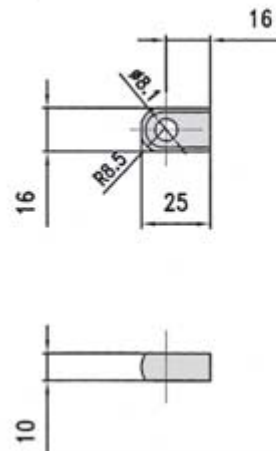
B 3

SALDATO
WELDED
GESCHWEISST



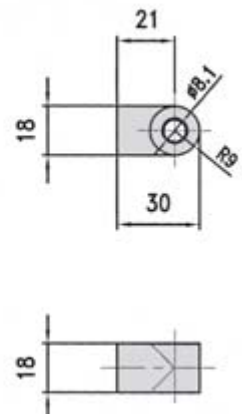
A 3

CIANFRINATO
CALKED
GESTEMMT



B 15

SALDATO
WELDED
GESCHWEISST



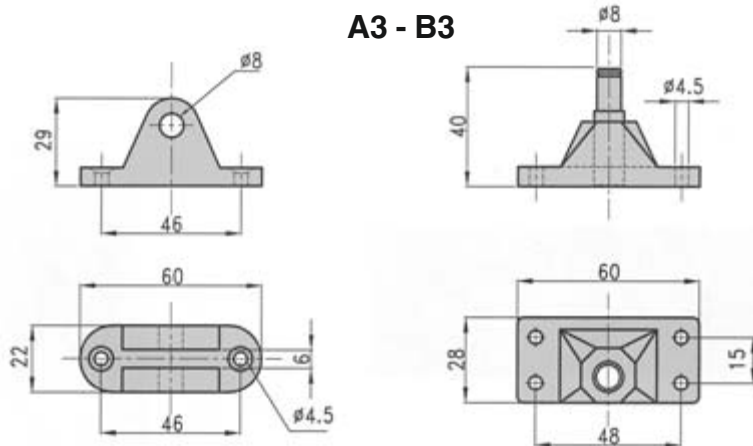
A 15

CIANFRINATO
CALKED
GESTEMMT

ATTACCHI MOLLE A GAS
GAS SPRING BRACKETS
ANSCHLÜSSE FÜR GASFEDERN

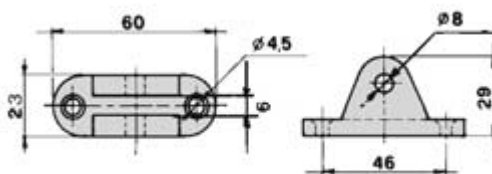
Art. 0825 14962

Coppia attacchi in alluminio anodizzato nero per molle a gas con foro Ø 8
 Black anodized aluminium set of two brackets for gas springs with Ø 8 mm. hole
 Paar Anschlußteile aus schwarz eloxiertem Aluminium für Gasfedern mit Ø 8 mm
 g. 120



Art. 0825 24183

Attacco femmina in alluminio per molle a gas con foro Ø mm. 8
 Aluminium female bracket for gas springs with Ø 8 mm. hole
 Aufsteckanschlußteil aus Aluminium für Gasfedern mit Ø 8 mm
 g. 65



Art. 0825 13963

Coppia attacchi in alluminio anodizzato nero per molle a gas con foro Ø mm. 8
 Black anodized aluminium set of two brackets for gas springs with Ø 8 mm. hole
 Anschlußteilepaar aus schwarz eloxiertem Aluminium für Gasfedern mit Ø 8 mm
 g. 194

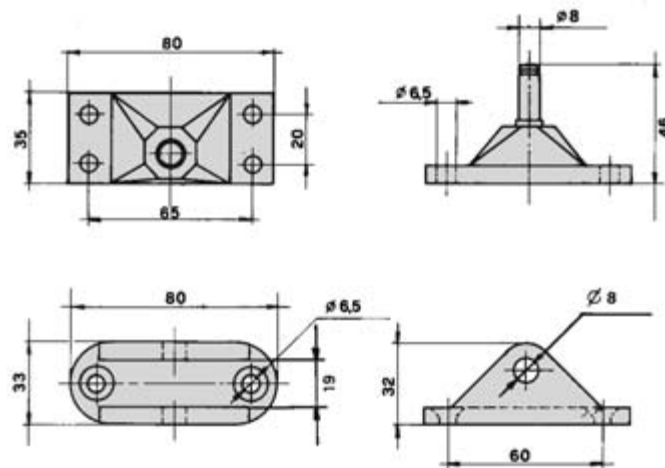
Art. 0825 20126

Attacco parte maschio in alluminio per molle a gas con foro Ø mm. 8
 Aluminium male bracket for gas springs with Ø 8 mm. hole
 Einsteckanschlußteil aus Aluminium für Gasfedern mit Ø 8 mm

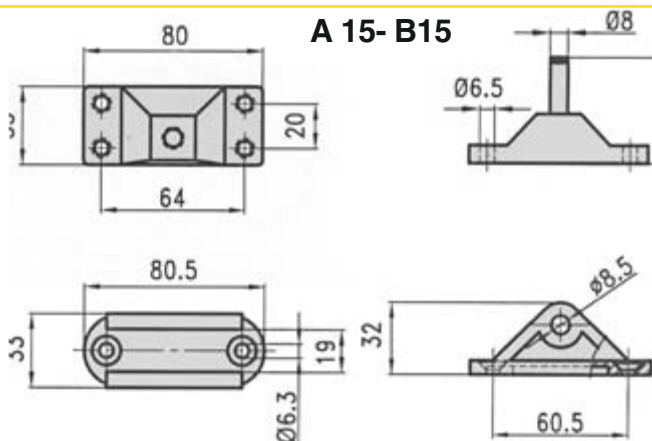
Art. 0825 20127

Attacco femmina in alluminio per molle a gas con foro Ø mm. 8
 Aluminium female bracket for gas springs with Ø 8 mm. hole
 Aufsteckanschlußteil aus Aluminium für Gasfedern mit Ø 8 mm
 g. 100

A 15- B15



A 15- B15



Art. 0825 25706

Coppia attacchi in **tecnopolimero** nero per molle a gas con foro Ø 8
 Pair of brackets in black **Technopolymer** for gas springs with hole Ø 8
 Paar Anschlüsse aus schwarzem **Technopolymer** für Gasfedern mit Anschlußbohrung Ø 8
 g. 115

MOLLE A GAS GAS SPRINGS GASFEDERN

COME SCEGLIERE LA MOLLA A GAS

Dati:

- il peso della portata in Kg. X
- la lunghezza della porta in metri Y
- la distanza tra il punto di incernieramento della porta e quello di applicazione dell'asta ad essa in metri Z
- il numero delle molle N

la formula per la determinazione della spinta S delle molle in Kg. è la seguente:

$$S = \frac{X \times Y}{2 \times N \times Z} + 5 \text{ Kg.}$$

Il 5 sta a rappresentare la quota costante in Kg./P da attribuirsi agli attriti.

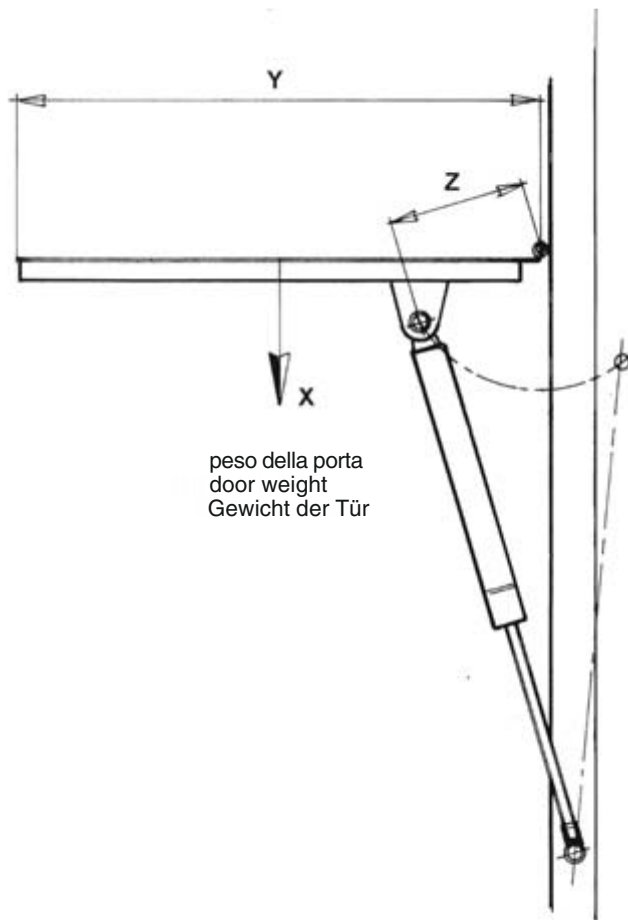
Esempio di calcolo:

Sia una sponda di peso	X	40 Kg.
lunghezza	Y	1,50 m.
distanza	Z	0,23
numero	N	2

L'applicazione della formula è la seguente:

$$\frac{40 \times 1,5}{(2 \times 2) \times 0,23} + 5 = 70,200 \text{ Kg./P}$$

Dobbiamo dunque montare 2 molle di 70 Kg./P



Data/Daten:

- Door weight/Gewicht der Tür in Kg X
 - Door length/Länge der Tür in m. Y
 - Distance between the door hinging point and the gas spring fixing point onto the door/Abstand zwischen dem Scharnieraufklappunkt der Tür und der Anbringungstelle der Stange zu dieser in m. Z
 - Number of gas springs/Anzahl der Federn N
 - Gas spring thrust pressure is/die Formel für die Schubbestimmung S
- The formula to be applied for the calculation of S=gas spring thrust pressure is/der Federn in KG ist die folgende:

$$S = \frac{X \times Y}{2 \times N \times Z} + 5 \text{ Kg.}$$

(+ 5 Kg.= constant added weight for the frictions)/Die 5 steht für die kostante Quote in KG/P, die den Reibungen zuzuschreiben ist

Example/Berechnungsbeispiel:

Door weight/Eine Bordwand mit Gewicht	X	40 Kg.
Door lenght /Länge	Y	1,50 m.
Distance/Abstand	Z	0,23
Number of gas springs/Anzahl	N	2

That is/Die Applikation der Formel ist die folgende:

$$S = \frac{40 \times 1,5}{(2 \times 2) \times 0,23} + 5 = 70,200 \text{ Kg./P}$$

Therefore two 70 Kg.gas springs have to be fitted/Man muß in diesem Fall 2 Federn mit 70KG/P montieren

La spinta di una molla a gas viene calcolata a 20°C, una temperatura superiore o inferiore influenza la spinta nella misura del 3,5% in più o in meno per ogni 10°C.

Il normale funzionamento avviene in temperature comprese tra -30°C e + 80°C.

Il montaggio deve avvenire in modo che in posizione chiusa l'attacco dello stelo sia rivolto verso il basso, questo facilita la lubrificazione della guida e delle guarnizioni e permette il miglior effetto frenante.

The thrust of a gas spring will be calculated at 20°C, a higher or lower temperature would influence the thrust for about 3,5% every 10°C.

The normal function proceeds within a temperature between -30°C and +80°C.

The assembling must be carried out as following: in closed position the connection of the shaft has to be turned to the downside, this will facilitate the lubrication of the guide and of the seals and will permit a higher braking effect.

Der Druck einer Gasfeder wird bei einer Temperatur von 20°C berechnet; eine höhere oder niedrigere Temperatur beeinflusst den Druck in einem Maße von etwa 3,5% alle 10°C.

Das normale Funktionieren ist gewährleistet bei einer Temperatur zwischen -30°C und +80°C.

Die Montage muß so ausgeführt werden, daß bei geschlossener Position der Schaftansatz nach unten zeigt, wodurch die Schmierung der Führung und der Dichtungen und somit ein größerer Bremsseffekt gewährleistet werden.